

مطالعه میانکنش نانوذره اکسید مس با آلبومین سرم انسانی با استفاده از تکنیک فلورسانس

علی ریاحی مدواو^{۱*} و علیرضا قاسمی نسب^۲

^۱ کرمان، دانشگاه تحصیلات تکمیلی صنعتی و فناوری پیشرفته، پژوهشگاه علوم و تکنولوژی پیشرفته و علوم محیطی، گروه بیوتکنولوژی.

^۲ کرمان، دانشگاه تحصیلات تکمیلی صنعتی و فناوری پیشرفته، دانشکده علوم و فناوری‌های نوین، گروه بیوتکنولوژی

تاریخ دریافت: ۹۵/۵/۳۱ تاریخ پذیرش: ۹۵/۹/۲۱

چکیده

در این مطالعه، برهمکنش بین آلبومین سرم انسانی (HSA) با غلظتها م مختلف نانوذره اکسید مس (CuO) با استفاده از روش طیف‌سنجی فلورسانس در شرایط شبیه فیزیولوژیک بررسی گردید. نتایج نشان داد که در حضور این نانوذره، نشر فلورسانس ذاتی پروتئین کاهش می‌یابد که با غلظت نانوذره در محیط هماهنگ است. بر اساس نتایج مربوط به ثابت سرعت خاموشی (K_{q}) چنین استنباط می‌شود که مکانیسم برهمکنش از نوع پایا (Static) است. پارامترهای ترمودینامیکی شامل آنتالپی (ΔH°) و آنتروپی (ΔS°) میانکنش بین نانوذره با HSA به ترتیب $-18/۰۶$ (KJ mol^{-۱}) و $۰/۰۱۹۵$ (KJ mol^{-۱} K) محاسبه گردید که نشان دهنده نقش مهم میانکنشهای الکتروستاتیک در این اتصال می‌باشد. در این میانکنش، علامت منفی مربوط به تغییرات انرژی آزاد (ΔG°) بیانگر افزایی زا بودن واکنش و تمایل این ذره به اتصال با HSA می‌باشد. همچنین افزایش نشر فلورسانس ANS در حضور نانوذره بیانگر افزایش هیدروفوبیسیته سطحی پروتئین می‌باشد. بر اساس نتایج به دست آمده چنین استنباط می‌شود که ساختار HSA در حضور این نانوذره دچار تغییر شده که می‌تواند بر عملکرد آن نیز تأثیر گذارد.

واژه‌های کلیدی: آلبومن سرم انسانی، خاموشی، فلورسانس، نانوذره اکسید مس.

* نویسنده مسئول، تلفن: ۰۳۴۳۷۷۶۶۱۱، پست الکترونیکی: riahi.ali@gmail.com

مقدمه

همچنین، پتانسیل ایجاد خطر توسط نانوذرات برای سلامتی انسان، به دلیل سمتی که بر سلولهای ریه (۳۴) و سلولهای قرمز خون (۲۸) نشان دادند، را دارا می‌باشند.

نانوذرات فلزی با سطح ویژه بالا و واکنش‌پذیری سطحی بالا، نه تنها می‌تواند به تنهایی توسط تماس فیزیکی معمولی جذب شوند بلکه می‌تواند با پروتئینهای زیستی میانکنش دهنده و توسط سلولها جذب گردد (۳۲). درک بهتر رابطه متقابل نانوذرات و سلولهای زنده می‌تواند منجر به پیشرفت در درک دریافت‌ها، تواناییهای تشخیصی و درمانی جدید از قبیل دارورسانی هدفمند، ژن درمانی و تشخیص سلاحهای بیولوژیک شود (۲۴). سریم اکسید در مقیاس نانو می‌تواند با سرم آلبومین گاوی واکنش دهد و

علم نانوتکنولوژی به ساختار و عملکرد مواد و ترکیباتی می‌پردازد که حداقل یکی از ابعاد عملکردی آنها بین ۱ تا ۱۰۰ نانومتر باشد (۴). استفاده از نانوذرات به دلیل ویژگیهای منحصر به‌فرد آنها، که خود ناشی از اندازه و ابعاد آنهاست، به طور روز افزون در حال افزایش است (۲۶). تاکنون سمتی نانوذرات برای رده‌های سلولی پستانداران (۷)، خرچنگها (۵)، ماهیها (۱۴)، گیاهان (۲۰) و موشها (۳۸) گزارش شده است. مطالعات مختلف حاکی از اثرات مضر و زیانبار ترکیبات نانویی مختلف همچون نانولله‌های کربنی و اکسید تیتانیوم بر روی سلولهای جانوری در محیط آزمایشگاه و همچنین بر اندامهای مختلف بدن جانوران از قبیل ریه می‌باشد (۱۰ و ۲۰).

مخالف درگیرند. به عنوان مثال، Roy و Das (۲۹) نشان دادند که میانکنش بین نانوذرات نقره با سرم آلبومین گاوی از طریق مکانیسم پویا با استفاده از میانکنشهای هیدروفوب و الکتروستاتیک انجام می‌شود. در مطالعات انجام شده توسط Zhang و همکاران در سال ۲۰۱۵ مشخص گردید که میانکش نانوذرات Fe_2O_3 با پروتئین فیبرینوژن اساساً از طریق پیوند هیدروژنی صورت می‌گیرد (۳۷). همچنین مطالعات انجام شده توسط Bhogale و همکاران در سال ۲۰۱۴ نشان داد که میانکنش بین نانوذرات مس (با اندازه حدود ۷/۵ نانومتر) با سرم آلبومین گاوی از طریق مکانیسم پایا و با استفاده از میانکنشهای هیدروفوب صورت می‌گیرد (۶).

در این مطالعه، میانکنش آلبومین سرم انسانی با غلاظتهای مختلف نانوذره CuO در شرایط شبیه فیزیولوژیک با استفاده از تکنیک فلورسانس مورد آنالیز قرار گرفت.

مواد و روشها

مواد مورد استفاده در این تحقیق شامل سرم آلبومین انسانی (جرم مولکولی ۶۵۴۰۰ دالتون) و ۸-Anilinonaphthalene-1-sulfonic acid (ANS) از شرکت سیگما تهیه شدند. نمکهای فسفات شامل K_2HPO_4 و KH_2PO_4 از شرکت Merck تهیه شدند. نانوذره اکسید مس (CuO) با درصد خلوص ۹۹/۲ درصد، میانگین اندازه ۶۰ نانومتر و مساحت سطح $55\text{m}^2\text{g}^{-1}$ از شرکت NaBond Technology تهیه گردید.

برای اندازه گیری شدت فلورسانس از اسپکتروفلورومتر VarianCary Eclipse ساخت کشور استرالیا استفاده شد.

آماده‌سازی مواد: استوک HAS با غلظت ۰/۵ میلی مولارد بافر فسفات پتاسیم ۵۰ میلی مولار با $\text{pH}=7/4$ تهیه شد. همچنین استوک یک میکرومولار نانوذره اکسید مس در بافر فسفات پتاسیم ۵۰ میلی مولار در $\text{pH}=7/4$ تهیه شد. به منظور تهیه سوسپانسیون یک دست از نانوذره، استوک تهیه

توسط سلولهای سلطانی ریه جذب شود (۲۳). اخیراً مطالعات گسترده‌ای بر روی میانکنش نانوذرات با پروتئینها انجام شده است (۶، ۲۵ و ۳۷).

آلبومن سرم انسانی (HSA) پروتئینی کروی با ۵۸۵ اسید آمینه، جزء فراوان‌ترین پروتئین موجود در پلاسمای خون است و حدود ۸۰ درصد فشار اسمزی خون را تأمین می‌نماید (۲۱). این پروتئین با دارا بودن سه جایگاه اتصال اختصاصی (I، II و III) که هر کدام از آنها دارای دو زیر ڈامین A و B می‌باشد (۸ و ۱۱)، نقش مهمی در انتقال و پخش داروها در خون دارد (۸). تحقیقات زیادی بر روی میانکنش بین HSA و مولکلهای دارویی با استفاده از تکنیک فلورسانس انجام شده است (۹ و ۱۸). میانکنش بین یک مشتق آکریدین (Acridine) و HSA با استفاده از مطالعات اسپکتروفتومتری فلورسانس در شرایط شبیه فیزیولوژیک، نشان داد که این میانکنش از طریق مکانیسم پایا و با استفاده از پیوندهای هیدروژنی و میانکنشهای هیدروفوب انجام می‌گیرد (۹). اساساً در اتصال لیگاند به پروتئین چهار نوع میانکنش غیرکوالانسی شامل پیوندهای هیدروژنی، نیروی واندروالسی، میانکنشهای هیدروفوبي و الکتروستاتیک می‌تواند دخیل باشند. از روی علامت و بزرگی پارامترهای ترمودینامیکی (آناتالپی و آنتروپی) می‌توان به نوع نیروی دخیل در میانکنشهای لیگاند-پروتئین در یک واکنش پی‌برد. Ross و Subramanian (۲۷) علامت و اهمیت پارامترهای ترمودینامیکی در ارتباط با انواع مختلف میانکنشهایی که در روند اتصال به پروتئینها ممکن است رخ دهد را مشخص کردند؛ اگر آناتالپی و آنتروپی هر دو بزرگتر از صفر باشند؛ نوع میانکنش هیدروفوب می‌باشد. اگر هر دو پارامتر مذکور کوچکتر از صفر باشند میانکنش واندروالسی و پیوند هیدروژنی در اتصال نقش دارند و اگر آناتالپی کوچکتر از صفر و آنتروپی بزرگتر از صفر باشد، میانکنشهای الکتروستاتیک عامل اصلی اتصال می‌باشد. مطالعات مختلف بیانگر این است که در اتصال نانوذرات به پروتئینهای مکانیسمها و نیروهای

سرعت خاموشی پروتئین، K_{sv} : ثابت نمودار استرن-ولمر عکس مولار بر ثانیه)، $[Q]$: غلظت خاموش کننده برحسب مولار می‌باشد ($13, 18, 0.0$ متوسط نیمه عمر پروتئین بدون خاموش کننده (5 نانوثانیه) (35) می‌باشد. برای محاسبه مقدار k_q از معادله 2 استفاده شد.

$$K_{sv} = K_q \tau_0 \quad \text{معادله ۲}$$

بر اساس معادله 3 می‌توان ثابت اتصال و تعداد جایگاه‌های اتصال پروتئین برای یک لیگاند را محاسبه نمود.

$$\text{معادله ۳}$$

$$\log \frac{F_0 - F}{F} = \log K_A + n \log [Q]$$

در این معادله F_0 و F به ترتیب شدتها فلورسانس در عدم حضور و حضور خاموش کننده، K_A : ثابت اتصال برحسب مولار و n : تعداد جایگاه‌های اتصالی پروتئین برای هر لیگاند می‌باشد (16).

تعیین پارامترهای ترمودینامیکی: جهت تعیین نیروهای دخیل در میانکنش پروتئین با نانوذره، پارامترهای ترمودینامیکی شامل آنتالپی و آنتروپی با استفاده از معادله 4 محاسبه شدند.

$$\text{معادله ۴}$$

$$\ln K = \frac{-\Delta H^0}{RT} + \frac{\Delta S^0}{R}$$

در این معادله، K : ثابت استرن ولمر در دماهای مختلف برحسب عکس مولار، ΔH^0 : تغییرات آنتالپی استاندارد ΔS^0 : واکنش بر حسب کالری بر مول بر درجه کلوین، تغییرات آنتروپی استاندارد واکنش بر حسب (مول.کلوین بر ژول) و R : ثابت گازها (مول.کلوین بر ژول) است ($9, 30$).

مقدار تغییرات انرژی آزاد گیبس استاندارد (کیلوکالری بر مول) از معادله 5 محاسبه گردید.

شده به مدت پنج دقیقه با فاصله زمانی یک دقیقه استراحت با استفاده از دستگاه سونیکاتور در يخ سونیکت گردید.

اندازه‌گیری شدت فلورسانس ذاتی HSA در میانکنش با نانو ذره اکسید مس: جهت مطالعه برهمکنش نانوذره اکسید مس با HSA آزمایش به این صورت انجام شد:

طول موج تحریک (λ_{ex}): 295 نانومتر، محدوده طول موج نشر (λ_{em}): $300-500$ نانومتر، سرعت اسکن (Speed): 500 نانومتر بر دقیقه و Slit (پهنای باند نور تابیده شده یا ثبت شده توسط دتکتور): 5 نانومتر.

در سل کوارتز یک سانتیمتری، حجم نهایی $2/5$ میلی‌لیتر از بافر فسفات پتاسیم 50 میلی‌مولار با pH $7/4$ ، پروتئین با غلظت نهایی میکرومولار و نانوذره با غلظتها نهایی صفر، $0/4$ ، $0/8$ ، $1/2$ ، $1/4$ ، $2/4$ ، $2/8$ ، $2/20$ ، $3/2$ و 4 نانومولار اضافه شد، پس از 10 دقیقه انکوبه شدن در دمای 298 درجه کلوین طیف فلورسانس ذاتی پروتئین در طول موج تحریک 295 نانومتر ثبت گردید. علاوه بر این، فلورسانس ذاتی پروتئین در دماهای 303 و 310 درجه کلوین در حضور غلظتها مختلف این نانو ذره اندازه-گیری شد.

بررسی نوع مکانیسم میانکنش (پایایا پویا): جهت بررسی نوع مکانیسم میانکنش نانوذره با پروتئین، نمودار استرن-ولمر مربوط به هر یک از دماهای، بر حسب شدت فلورسانس در طول موج 340 نانومتر و غلظت نانوذره (نانومولار) ترسیم گردید. پس از به دست آوردن معادله خط مربوط به نمودار، ثابت‌های خاموشی بر اساس معادله 1 محاسبه گردید.

$$\text{معادله ۱}$$

$$\frac{F_0}{F} = 1 + k_q \tau_0 [Q] = 1 + K_{sv} [Q]$$

در این معادله، F_0 و F به ترتیب شدتها فلورسانس پروتئین در عدم حضور و حضور خاموش کننده، k_q : ثابت

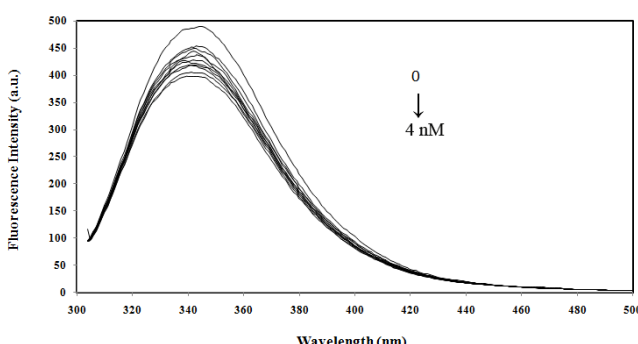
نتایج

$$\Delta G^0 = \Delta H^0 - T\Delta S^0 \quad \text{معادله ۵}$$

تغییرات فلورسانس ذاتی HSA در حضور غلظتهاي مختلف نانوذره اكسيد مس: همان طور که در شکل ۱ قابل مشاهده است، با افزایش غلظت نانوذره در محیط شدت فلورسانس در طول موج تحریکی ۲۹۵ نانومتر کاهش یافته است. نتایج به دست آمده از معادله استرن-ولمر در طول موج نشری ۳۴۰ نانومتر بر حسب غلظتهاي مختلف نانوذره نشان می‌دهد که میزان خاموش شدگی نشر فلورسانس با غلظت نانوذره تقریباً رابطه خطی داشته و همانگ با افزایش غلظت نانو ذره در محیط میزان نشر نیز کاهش می‌یابد (شکل ۲).

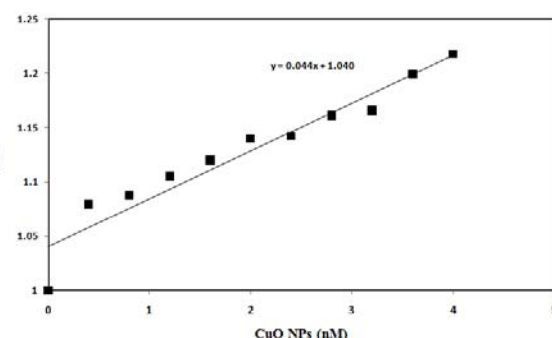
اندازه‌گیری فلورسانس ANS: فلورسانس ANS در غلظت پروتئینی یک میکرومولار و غلظت ۳۰ میکرومولار ANS در بافر فسفات پتابسیم ۵۰ میلی‌مولار با $pH=7/4$ در حضور و عدم حضور نانوذره (۲ نانومولار) با شرایط زیر انجام شد.

طول موج تحریک (λ_{ex}): ۳۵۰ نانومتر، محدوده طول موج نشر (λ_{em}): ۶۰۰-۴۰۰ نانومتر، سرعت اسکن: ۵۰۰ نانومتر بر دقیقه، Slit (پهنای باند نور تاییده شده یا ثبت شده توسط دتکتور): ۵ نانومتر.

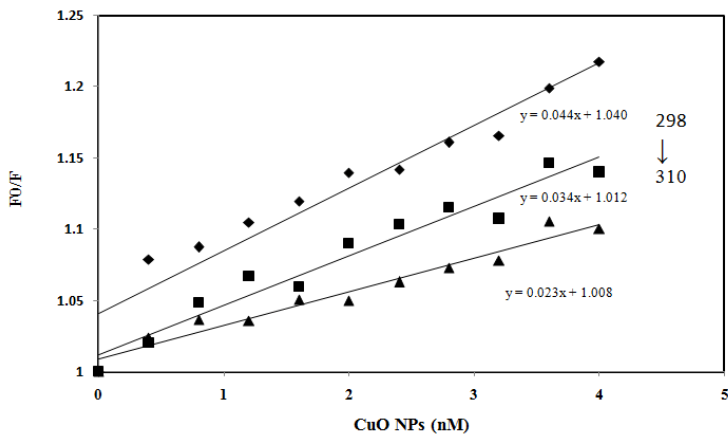


شکل ۱- اثر غلظتهاي مختلف نانوذره اكسيد مس (صفرا، $۰/۴$ ، $۰/۸$ ، $۰/۲$ ، $۱/۲$ ، $۱/۶$ ، $۱/۴$ ، $۲/۰$ ، $۲/۴$ ، $۲/۸$ ، $۲/۲$ ، $۳/۰$ و ۴ نانومولار) بر طيف نشری فلورسانس ذاتی HSA در طول موج تحریکی ۲۹۵ نانومتر (دمای ۲۹۸ درجه کلوین، بافر فسفات ۵۰ میلی‌مولار و $pH=7/4$).

فلورسانس ذاتی HSA در حضور نانو ذره اكسيد مس در دماهای ۲۹۸ ، ۳۰۳ و ۳۱۰ درجه کلوین: تأثیر دما بر میانکش پروتئین با نانوذره اكسيد مس، با اندازه‌گیری شدت فلورسانس ذاتی HSA در طول موج ۲۹۵ نانومتر مورد بررسی قرار گرفت. همانند آنچه در شکل ۱ مشاهده می‌گردد، در دماهای بالاتر نیز با افزایش غلظت نانوذره در محیط شدت فلورسانس کاهش یافت. از مقایسه نمودارهای استرن-ولمر به دست آمده در طول موج نشری ۳۴۰ نانومتر، مشاهده می‌گردد که با افزایش دما، میزان کاهش شدت فلورسانس کمتر شده است (شکل ۳).



شکل ۲- نمودار استرن-ولمر برهمکنش غلظتهاي مختلف نانوذره اكسيد مس (صفرا، $۰/۴$ ، $۰/۸$ ، $۰/۲$ ، $۱/۲$ ، $۱/۶$ ، $۱/۴$ ، $۲/۰$ ، $۲/۴$ ، $۲/۸$ ، $۲/۲$ ، $۳/۰$ و ۴ نانومولار) با HSA (طول موج نشر: ۳۴۵ نانومتر، بافر پتابسیم فسفات ۵۰ میلی‌مولار، $pH=7/4$ و دمای ۲۹۸ درجه کلوین).



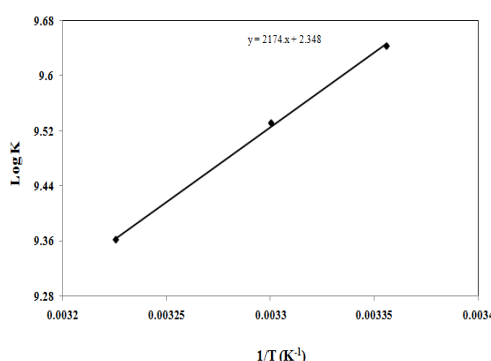
شکل ۳- مقایسه نمودار استرن-ولمر برهمکش پروتئین HSA با غلظتهاي مختلف نانوذره اکسید مس (صفر، ۰/۴، ۲/۰، ۱/۶، ۰/۸، ۰/۴، ۲/۴، ۲/۸، ۳/۲ و ۴ نانومولار) در دماهای ۲۸۰ درجه کلوین (◆)، ۳۰۳ درجه کلوین (■) و ۳۱۰ درجه کلوین (▲).

نشان داده شده است. همان طور که در جدول قابل مشاهده است هر دو ثابت خاموشی و ثابت سرعت با افزایش دما کاهش یافته است.

تعیین نوع میانکنش HSA و نانوذره اکسید مس: ثابت خاموشی استرن-ولمر (K_{sv}) و ثابت سرعت خاموشی فلورسانس (K_q) از روی معادله خط مربوط به هریک از نمودارهای استرن-ولمر در دماهای مختلف در جدول ۱

جدول ۱- ثابتهاي خاموشی میانکنش HSA با نانوذره اکسید مس

دما (کلوین)	K_{sv} ($1 \times 10^9 \text{ L mol}^{-1}$)	K_q ($1 \times 10^{17} \text{ L mol}^{-1} \text{ s}^{-1}$)
۲۹۸	۴/۴	۸/۸
۳۰۳	۲/۴	۶/۸
۳۱۰	۲/۳	۴/۶



شکل ۴- نمودار وانت‌هوف مربوط به میانکنش نانوذره اکسید مس با آلبومین سوم انسانی.

تعیین پارامترهای ترمودینامیکی در میانکنش HSA و نانوذره اکسید مس: با استفاده از معادله خط به دست آمد از نمودار وانت‌هوف (شکل ۴)، و بر اساس معادله ۴، آنتالپی و آنتروپی میانکنش نانوذره اکسید آهن با HSA محاسبه گردید (جدول ۲). همان طور که در جدول قابل مشاهده است علامت ΔH منفی و علامت ΔS مثبت می-باشد.

از طرف دیگر بر اساس معادله ۵، مقدار تغییرات انرژی آزاد برای این میانکنش در دماهای مختلف محاسبه گردید. همان طور که در جدول ۲ مشاهده می‌گردد علامت این پارامتر منفی بوده و با افزایش دما افزایش یافته است.

جدول ۲- پارامترهای ترمودینامیکی میانکنش نانوذره اکسید مس با آلبومین سوم انسانی

(کلوین) دما	ΔG (kJ mol ⁻¹)	ΔH (kJ mol ⁻¹)	ΔS (kJ mol ⁻¹ K)
۲۹۸	-۲۳/۸۷		
۳۰۳	-۲۳/۹۶	-۱۸/۰۶	۰/۰۱۹۵
۳۱۰	-۲۴/۱		

دما ثابت اتصال و همچنین n افزایش می‌یابد (به استثنای در دمای ۳۱۰ درجه کلوین که نسبت به دمای ۳۰۳ درجه کاهش نشان می‌دهد).

تعیین ثابت اتصال و جایگاه‌های اتصال نانوذره بر روی HSA: مقادیر Ka و n برای برهمنکنش نانوذره اکسید مس به پروتئین سرم آلبومین انسانی در جدول ۳ نشان داده شده است. همان طور که در جدول مشاهده می‌گردد با افزایش

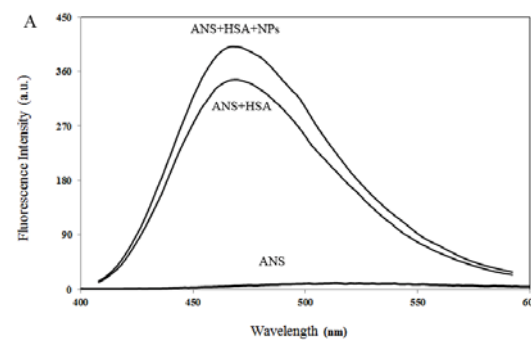
جدول ۳- ثابت اتصال و تعداد جایگاه برای نانوذره اکسید مس با HSA

(کلوین) دما	K_a ($1 \times 10^9 M^{-1}$)	n
۲۹۸	۹/۶۳	۰/۴۴۲
۳۰۳	۲۱/۱۸	۰/۷۹۴
۳۱۰	۲۷/۹۸	۰/۷۲۰

بحث

اگرچه نانوفناوری دارای مزایا و پتانسیلهای زیادی است اما سمتی ناشی از باقیمانده‌های نانو ذرات یک نگرانی بزرگ است (۲۲). آلبومین فراوانترین پروتئین در پلاسمای است که نقشه‌ای فیزیولوژیکی و فارماکولوژیکی مختلفی دارد. این پروتئین نقش مهمی در انتقال و پخش داروهای موجود در خون دارد (۸). نظر به اینکه، غیر از داروها، مولکولهای دیگر نیز امکان اتصال به این پروتئین را دارند، مطالعه اتصال مولکولهای کوچک به این پروتئین اهمیت زیادی دارد (۹). تولید و استفاده بیش از حد نانوذرات منجر به راهیابی این ذرات به اکوسیستمهای مختلف می‌شود و این در حالی است که از سرنوشت این ذرات پس از ورود به اکوسیستم اطلاعات کامل و جامعی در دست نیست (۲۲). مطالعات انجام شده توسط امجدی و همکاران نشان داد که نانواکسید مس علاوه بر مهار رشد باکتری اشریشیاکلی باعث تغییر توالی DNA آن در برخی نقاط می‌شود (۱).

فلورسانس ANS در حضور و عدم حضور نانو ذره اکسید مس: همان طور که در شکل ۵ مشاهده می‌گردد شدت فلورسانس ANS در حضور پروتئین HAS نسبت به تنهایی افزایش یافته است. همین طور، نشر این فلوروفور در حضورپروتئین میانکنش داده با نانوذره نسبت به پروتئین تنها بیشتر شده است.



شکل ۵- فلورسانس ANS به تنهایی، در حضور HSA و در حضور HSA ترکیب شده با نانوذره اکسید مس.

۲۹۸ درجه کلوین به ۳۱۰ درجه کلوین این پارامترها کاهش می‌یابند (جدول ۱). نتایج مشابهی در اتصال کوانتم دات CdTe:Zn^{2+} به HSA توسط Huang و همکاران گزارش شد. آنها کاهش این پارامترها را به مکانسیم پایا میانکش بین کوانتم دات و HSA مرتبه دانستند (۱۶). از طرف دیگر، با توجه به اینکه ثابت سرعت خاموشی (K_q) در تمامی دماها از ثابت سرعت (maximum diffusion rate constant) یا K_q مربوط به این مولکول زیستی $(2.0 \times 10^{10} \text{ L mol}^{-1} \text{ s}^{-1})$ بیشتر است پیشنهاد می‌شود که خاموشی فلورسانس HSA از طریق مکانسیم پایا انجام می‌شود (۹، ۱۲، ۱۶ و ۱۸). علامت منفی مربوط به مقدار انرژی آزاد شده (ΔG) و علامت مثبت تغییرات آنتروپی (ΔS) در میانکش HSA با این نانوذره، بیانگر خود به خودی بودن واکنش می‌باشد (۱۶).

بر اساس ثابت مربوط به نموارهای استرن-ولمر در دماهای مختلف (۹)، پارامترهای ترمودینامیکی از روی معادله خط مربوط به نمودار وانت‌هووف محاسبه شدند (جدول ۲). همان طور که در جدول نشان داده شده است، آنتالپی کوچکتر از صفر و آنتروپی بزرگتر از صفر می‌باشد، بنابراین نتیجه‌گیری می‌شود که میانکنشهای الکتروستاتیک عامل اصلی اتصال نانوذره با پروتئین می‌باشد (۲۷). این نتایج با نتایج منتشر شده توسط Huang و همکاران در سال ۲۰۱۵ مطابقت دارد. آنها نشان دادند که اتصال این پروتئین با کوانتم دات CdTe:Zn^{2+} از طریق میانکنشهای الکتروستاتیک صورت می‌گیرد (۱۶). در حالی که مطالعات Rabbani و همکاران نشان داد که میانکش اتصال نانوذرات اکسید مس با آنزیم بتا گالاکتوزیداز از طریق پیوند هیدروژنی و نیروهای واندرووالس انجام می‌شود (۲۵). به نظر می‌رسد که نوع مکانسیم اتصال و نیروهای دخیل در اتصال تابعی از اندازه، غلظت و همچنین ماهیت نانوذره در محیط باشد.

تکنیک فلورسانس به دلیل حساسیت و دقت یک ابزار قدرتمند جهت مطالعه برهمکنش مولکولهای کوچک با پروتئینها به حساب می‌آید (۳۳). در ساختار HSA یک مولکول تریپتوфан در موقعیت ۲۱۴ وجود دارد که فلورسانس ذاتی آن به لیگاندهای پیوند شده مجاور حساس است (۱۵).

همان طور که در نتایج مشاهده می‌گردد با افزایش غلظت نانوذره در محیط، شدت فلورسانس ذاتی پروتئین HSA (در طول موج ۲۹۵ نانومتر) در دماهای ۲۹۸ درجه کلوین کاهش یافته است (شکل ۱). کاهش نشر فلورسانس ذاتی این پروتئین (مربوط به تریپتوfan) در حضور نانوذرات طلا نیز گزارش شده است (۳۱). از نمودار استرن-ولمر مربوط به طیف فلورسانس ذاتی پروتئین چنین استنباط می‌شود که بین خاموشی فلورسانس با غلظت نانوذره تقریباً رابطه خطی وجود دارد. همچنین رابطه مشابهی بین میزان خاموشی و غلظت نانوذره در دماهای بالاتر (۳۰۳ و ۳۱۰ درجه کلوین) نیز مشاهده گردید.

نتایج منتشر شده توسط Huang و همکاران در سال ۲۰۱۵ نشان داد که خاموشی فلورسانس HSA توسط کوانتم دات CdTe:Zn^{2+} تابعی از غلظت بوده و با افزایش غلظت کوانتم دات میزان نشر فلورسانس ذاتی تریپتوfan کاهش می‌یابد (۱۶). این مشاهدات با نتایج به دست آمده در این تحقیق مطابقت دارد. بر اساس نمودار استرن-ولمر مربوط به خاموشی فلورسانس در دماهای مختلف (شکل ۳) چنین مشاهده می‌شود که با افزایش دما شب نمودار مربوطه کاهش می‌یابد. به عبارت دیگر، با افزایش دما، میزان خاموشی فلورسانس ذاتی مربوط به تریپتوfan در حضور غلظتها مختلف نانوذره به صورت تابعی از غلظت نانوذره کاهش می‌یابد.

پارامترهای مربوط به ثابت خاموشی شامل K_{sv} و K_q که از معادله خط مربوط به هر یک از نمودارهای استرن-ولمر در دماهای مختلف به دست آمد نشان داد که با افزایش دما از

آمده از طیف فلورسانس ذاتی در حضور غلظتها مختلف نانوذره همچو انداره تغییر ساختار HSA پس از اتصال به نانوذرات طلا توسط Sen و همکاران در سال ۲۰۱۱ گزارش شده است. آنها مشاهده کردند که در حضور نانوذرات طلا میزان آلفا هلیکس ساختار پروتئین HAS کاهش می‌یابد (۳۱). از طرف دیگر، مطالعات انجام شده توسط شارقی و همکاران نشان داد که نانوذرات اکسیدروی و اکسیدآهن بر پایداری آنزیم پیسین تأثیر ندارد (۲).

در مجموع این مشاهدات بیانگر تغییر ساختار پروتئین پس از اتصال به نانوذره اکسید مس می‌یابشد که می‌تواند عملکرد آن را تحت تأثیر قرار دهد. لذا مهم است که جنبه‌های محیطی، سلامتی و ایمنی در مراحل ابتدایی استفاده از نانومواد در نظر گرفته شود (۵).

تشکر و قدردانی

این تحقیق با حمایت مالی پژوهشگاه علوم و تکنولوژی پیشرفت و علوم محیطی، دانشگاه تحصیلات تکمیلی صنعتی و فناوری پیشرفت با قرداد شماره ۱/۴۰۳۱ انجام شده است. بنابراین مجری و همکاران مرتب سپاس و قدردانی خود را از آن دانشگاه محترم اعلام می‌دارند.

مطالعات انجام شده توسط ایرانفر و همکاران نشان دادند که با تغییر اندازه نانوذره نقره در محیط رفتارهای متفاوتی رخ می‌دهد، به طوری که با افزایش اندازه نانوذره نقره در حضور Ciprofloxacin، ثابت سرعت خاموشی و همچنین ثابت معادله استرن-ولمر افزایش می‌یابد. آنها نتیجه گرفتند که نانوذرات با ابعاد مختلف عملکردهای متفاوتی در محلول پروتئینی دارد که می‌تواند با لایه‌های مختلف آبپوشی اطراف آنها مرتبط باشد (۱۷).

ANS یک فلوروفور هیدروفوب است که پس از اتصال به محیط‌های هیدروفوب نشر آن افزایش می‌یابد (۳ و ۳۴). همان طور که در نتایج نشان داده شده این نشر این فلوروفور پس از اتصال به پروتئین متصل شده به نانوذره مشاهدات با نتایج متناسب شده توسط Sen و همکاران مغایرت دارد. آنها مشاهده کردند طیف نشري فلورسانس ANS در پروتئین متصل شده به نانوذرات طلا نسبت به پروتئین متصل نشده به نانوذره کمتر است (۳۱). افزایش نشر فلورسانس این فلوروفور، نشان دهنده این واقعیت است که میزان هیدروفوبیسیته سطحی پروتئین در اثر میانکنش با این ذره افزایش یافته است که با نتایج به دست

منابع

- ۱- امجدی، ف.، گلستانی ایمانی، ب. و کریمی، ف. ۱۳۹۴. بررسی اثر نانوذرات اکسید مس روی ژنوم باکتری اشربیاکلی با استفاده از نشانگرهای مولکولی RAPD. مجله پژوهش‌های سلولی و مولکولی (مجله زیست‌شناسی ایران)، ۲۸(۴)، ۴۷۵-۴۸۷.
- ۲- شارقی، ب.، شهدادرزاد، ک. و محمدی، ه. ۱۳۹۴. مطالعه پایداری ساختاری آنزیم پیسین در حضور نانوذرات اکسیدروی و اکسیدآهن. مجله پژوهش‌های سلولی و مولکولی (مجله زیست‌شناسی ایران)، ۲۸(۴)، ۴۷۵-۴۸۷.
- 3- Andrade, J.D. Hlady, V. Feng, L. and Tingey, K. 1996. Protein at interfaces: principles, problems, and potential. In: Brash JL, Wojciechowski PW, editors. *Interfacial phenomena and bioproducts*. New York: Marcel Dicker. 19-55.
- 4- Ball, P. 2002. Natural strategies for the molecular engineer. *Nanotechnology*, 13: 15-28.
- 5- Baun, A. Hartmann, N.B. Grieger, K. and Kusk, K.O. 2008. Ecotoxicity of engineered nanoparticles to aquatic invertebrates: a brief review and recommendations for future toxicity testing. *Ecotoxicology*. 17(5): 387-95.
- 6- Bhogale, A. Patel, N. Mariam, J. Dongre, P.M. Miotello, A. Kothari, D.C. 2014.
- 7- Brunner, T.J. Wick, P. Manser, P. Spohn, P. Grass, R.N. Limbach, L.K. Bruinink, A. and Stark, W.J. 2006. In vitro cytotoxicity of oxide nanoparticles: comparison to asbestos, silica, and the effect of particle solubility. *Environmental science & technology*. 40(14): 4374-4378.
- 8- Carter, D. C. and Ho, J.X. 1994. Structure of serum albumin. *Advances in Protein Chemistry*. 45: 153-203.

- 9- Chen, L. Wu, M. Lin, X. and Xie, Z. 2011. Study on the interaction between human serum albumin and a novel bioactive acridine derivative using optical spectroscopy. *Luminescence*. 26: 172-177.
- 10- Corredor, E. Testillano, P.S. Coronado, M.J. Gonzalez-Melendi, P. Fernandez-Pacheco, R. Marquina, C. Ibarra, M.R. Fuente, J.M. Rubiales, D. Perez-de-Luque, A. and Risueno, M.C. 2009. Nanoparticle penetration and transport in living pumpkin plants: in situ subcellular identification. *BMC Plant Biology*. 9: 1-11.
- 11- Curry, S. Brich, P. and Frank, N.P. 1999. Fatty acid binding to human serum albumin: new insights from crystallographic studies. *Biochimica et Biophysica Acta*. 14: 41-131.
- 12- Eftink, M.R. 1991. Fluorescence quenching reactions: probing biological macro-molecular structures. In: Dewey TG, editor. *Biophysical and biochemical aspects of fluorescence spectroscopy*. New York: Plenum.
- 13- Gelamo, E.L. Silva, C.H.T.P. Imasato, H. and Tabak, M. 2002. Interaction of bovine (BSA) and human (HSA) serum albumins with ionic surfactants: spectroscopy and modeling. *Biochimica et Biophysica Acta*. 1594: 84-99.
- 14- Griffitt, R.J. Weil, R. Hyndman, K.A. and et al. 2007. Exposure to copper nanoparticles causes gill injury and acute lethality in zebrafish (*Danio rerio*). *Environmental science & technology*. 41(23): 8178-8186.
- 15- He, X.M. and Carter, D.C. 1992. Atomic structure and chemistry of human serum albumin. *Nature*. 358: 209-15.
- 16- Huang, S., Qiu, H., Liu, Y., Huang, C., Sheng, J., Wei Su, W. and Xiao, Q. 2015. Molecular interaction investigation between three CdTe:Zn²⁺ quantum dots and human serum albumin: A comparative study. *Colloids and Surfaces B: Biointerfaces*. 136: 955-962.
- 17- Hu, Y. Liu, Y. Wang, J. Xiao, X. Qu, S. 2004. Study of the interaction between monoammoniumglycyrhizinate and bovine serum albumin. *Journal of pharmaceutical and biomedical analysis*. 36: 915-19.
- 18- Iranfar, H. Rajabi, O. Salari, R. and Chamani, J. 2012. Probing the Interaction of Human Serum Albumin with Ciprofloxacin in the Presence of Silver Nanoparticles of Three Sizes: Multispectroscopic and ζ Potential Investigation. *The Journal of Physical chemistry B*. 116, 1951-1964.
- 19- Lakowicz, J.R. 1999. *Principles of fluorescence spectroscopy*, 2nd edn. New York: Kluwer Academic/Plenum Publishers. 368.
- 20- Lee, W.M. An, Y.J. Yoon, H. and Kweon, H.S. 2008. Toxicity and bioavailability of copper nanoparticles to the terrestrial plants mung bean (*Phaseolus radiatus*) and wheat (*Triticum aestivum*): Plant agar test for water-insoluble nanoparticles. *Environmental Toxicology and Chemistry*. 27(9): 1915-1921.
- 21- Li, Y. He, W.Y. Liu, H. Yao, X. and Hu, Z. 2007. Daidzein interaction with human serum albumin studied using optical spectroscopy and molecular modeling methods. *Journal of Molecular Structure*. 83: 144-150.
- 22- Monica, R.C. and Cremonini, R. (2009) Nanoparticles and higher plants. *Caryologia*. 62(2): 161-165.
- 23- Patil, S. Sandberg, A. Heckert, E. Self, W. and Seal S. 2007. Protein adsorption and cellular uptake of cerium oxide nanoparticles as a function of zeta potential. *Biomaterials*. 28:4600-4607.
- 24- Pinto-Alphandary, H. Andremont, A. and Couvreur, P. 2000. Targeted delivery of antibiotics using liposomes and nanoparticles, research and applications. *International journal of antimicrobial agents*. 13: 155-168.
- 25- Rabbani, G. Khan, M.J. Ahmad, A. Yusof Maskat, M. and Khan, R.H. 2014. Effect of copper oxide nanoparticles on the conformation and activity of β -galactosidase. *Colloids Surf B Biointerfaces*. 123: 96-105.
- 26- Roco, M.C. 1999. Nanoparticles and nanotechnology. *Journal of Nanoparticle Research* 1: 1-6.
- 27- Ross, P.D. and Subramanian, S. 1981. Thermodynamics of protein association reactions: forces contributing to stability. *Biochemistry*. 20(11): 3096-102.
- 28- Rothen-Rutishauser, B.M. Schurch, S. Haenni, B. and et al. 2006. Interaction of fine particles and nanoparticles with red blood cells visualized with advanced microscopic techniques. *Environmental science & technology*. 40(14): 4353-4359.
- 29- Roy, S. Das, T.K. 2014. Spectroscopic studies of interaction between biologically synthesized silver nanoparticles and bovine serum albumin. *Journal of Nanoscience and Nanotechnology*. 14(7): 4899-4905.
- 30- Sanei, H. Asoodeh, A. Hamedakbari-Tusi, S. and Chamani, J. 2011. Multi-spectroscopic Investigations of Aspirin and Colchicine Interactions with Human Hemoglobin: Binary and Ternary Systems. *Journal of Solution Chemistry*. 40: 1905-1931.
- 31- Sen, T., Mandal, S., Haldar, S., Chattopadhyay, K. and Amitava Patra, A. 2011. Interaction of Gold Nanoparticle with Human Serum Albumin

- (HSA) Protein Using Surface Energy Transfer. *J. Phys. Chem. C.* 115: 24037–24044
- 32- Wang, B.X. Li C.H. and Peng X.F. 2005. Adsorption of nanoparticles on bubble surface in nano-particle suspension. *China Particuology*. 3: 208-212.
- 33- Wei, Y. Li, J. Dong, C. Shuang, S. Liu, D. and Huie, C.W. 2006. Investigation of the association behaviors between biliverdin and bovine serum albumin by fluorescence spectroscopy. *Talanta*. 70 (2): 377–382.
- 34- Worle-Knirsch, J.M. Kern, K. Schleh, C. and et al. 2007. Nanoparticulate vanadium oxide potentiated vanadium toxicity in human lung cells. *Environmental science & technology*. 41(1): 331-6.
- 35- Xie, M. Long, M. Liu, Y. Qin, C. and Wang, Y. 2006. Characterization of the interaction between human serum albumin and morin. *Biochimica et Biophysica Acta*. 1760:1184–91.
- 36- Yousefi-Nejad, M. Hosseinkhani, S. Khajeh, K. Ranjbar, B. 2006. Expression, purification and immobilization of firefly luciferase on alkyl-substituted Sepharose 4B. *Enzyme and Microbial Technology*. 40: 740–746.
- 37- Zhang, H. Wu, P. Zhu, Z. and Wang, Y. 2015. Interaction of γ -Fe₂O₃ nanoparticles with fibrinogen. *Spectrochimica Acta Part A: Molecular and Biomolecular Spectroscopy*. 151: 40–47.
- 38- Zhu, M.T. Feng, W.Y. Wang, Y. and et al. 2009. Particokinetics and extrapulmonary translocation of intratracheally instilled ferric oxide nanoparticles in rats and the potential health risk assessment. *Toxicological sciences: an official journal of the Society of Toxicology*. 107(2): 342-51.

Study of the CuO nanoparticles interaction with human serum albumin using fluorescence technique

Riahi-Madvar A.¹ and Ghasemine Sab A.²

¹Biotechnology Dept., Institute of Science and High technology and Environmental Sciences, Graduate University of Advanced Technology, Kerman, I.R. of Iran.

²Biotechnology Dept., Faculty of Science and Modern Technology, Graduate University of Advanced Technology, Kerman, I.R. of Iran.

Abstract

In this study, interaction between human serum albumin and CuO nanoparticle (NP) at different concentrations was studied using fluorescence method under the simulative physiological condition. The results showed the intrinsic fluorescence reduced in the presence of the NP as the manner increase NP concentration in media. According to the results of quenching rate constant (K_q), it deduced that the interaction take place through static mechanism. Thermodynamic parameters including enthalpy and entropy were calculated as -18.06 (kJ mol⁻¹) and 0.0195 (kJ mol⁻¹ K) respectively, which shows the importance of electrostatic interaction in HAS and NP interaction. Affinity of this particle to HAS deduced as the negative sign of free energy (ΔG°) that shows the interaction is exergonic process. Evaluation of ANS fluorescence intensity indicated that hydrophobicity of the surface protein increased in the presence of the NP. Based on the results it established, the protein structure changed in the presence of NP which may be affected its function.

Key words: CuO nanoparticles, Fluorescence, Human serum albumin, Quenching.